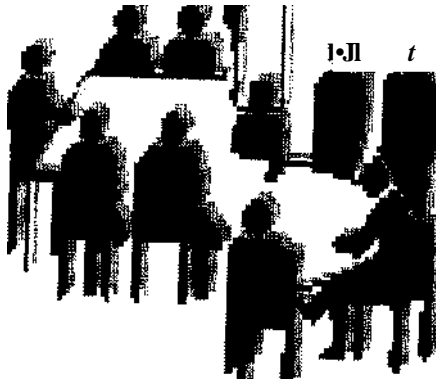


Modellierung und Simulation von Dampferzeugern und Feuerungen

Tagung Braunschweig, 5. und 6. März 2002



VDI-Berichte 1664

Inhalt

Seite

<i>J. Nafe, D. Schmidt, U. Maas</i>	Reduzierte kinetische Modelle für die Beschreibung turbulenter Verbrennungsprozesse	
<i>J. Janicka, A. Sadiki</i>	Stand und Perspektive der Large Eddy Simulation (LES) zur Simulation von Verbrennungssystemen	
<i>F. U. Rückert, U. Schnell, K. R. G. Hein, S. Bleckwehl, H. Leibold, H. Seifert</i>	Simulation des Abbrandverhaltens in einem Batch-Prozess	21
<i>K. Majidi, H. Pucher</i>	Simulation der Strömungsvorgänge und Verbrennungsprozesse in einer Gasturbinenbrennkammer	31
<i>A4 Liebethuth, K. Görner, V. Hildebrandt</i>	Laufzeitkopplung von CFD und thermodynamischer Realphasenmodellierung zur Darstellung der Verschlackungsneigung	41
<i>H. Gutte, B. Meyer</i>	Thermodynamische Bestimmung von Ausscheidungszuständen hochwarmfester Werkstoffe beim Einsatz in Dampferzeugern	53
<i>S. Vockrodt, H. Müller, R. Leithner, G. Stamatelopoulos, M. Weisenburger, G. Scheffknecht</i>	Simulation der Braunkohlefeuerung eines Großdampferzeugers mit modifizierter Brennkammertrichtergeometrie	63
<i>U. Schnell, Ch. Sauer, K. R. G. Hein, P. Moser, W. Winderlich</i>	Detaillierte gekoppelte Prozesssimulation eines Großkraftwerks (Ergebnisse des Projekts KOMET65O2.9)	73
<i>S. Bockamp, W. Krumm</i>	Ein instationäres Gesamtmodell für Kraftwerke mit zirkulierender Druckwirbelschichtfeuerung	85
<i>S. Vockrodt, R. Leithner, F.-M. Müller, N. Hopf</i>	Simulation der Mitverbrennung beladener Aktivkohle mittels Sauerstoff-Feststoffbrenner in einer Müllverbrennungsanlage	97

<i>K. Lücke, E.-U. Hartge, J. Werther</i>	Dreidimensionale Modellierung von Fluchtigenfreisetzung und -abbrand in großtechnischen Feuerungen mit zirkulierender Wirbelschicht	107
<i>T. L. Edens, J. Werther, S. A. Jansson</i>	CFD-Modellierung der Zusatzfeuerung im Freiraum einer Druckwirbelschichtfeuerung	119
<i>H. Walter, W. Linzer</i>	Einfluß der dynamischen Simulation auf die Geometrie der Überströmröhre eines Abhitzedampferzeugers	131
<i>J. Jekerle</i>	Dynamische Berechnung eines natürlichen Wasserumlauf-Systems in einem Prozeßgaskühler mit Hilfe der Lagrangeschen Strömungsgleichungen	143
<i>Ch. Daublebsky von Eichhain, H. Nessler, R. Preiss, P. Eisenkolb</i>	Kaltstart eines modernen Abhitzekessels	155
<i>S. Bruß, R. Leithner, N. Paßmann, J. Taschenberger</i>	Simulation der Druck- und Temperaturänderungen in einem Dampferzeuger bei Turbinenventilschnellschluß und Ausfall eines von mehreren Sicherheitsventilen	167
<i>Ch. Pletl, Th. Weiss, Ch. Sauer, A. Butterlin, T. Schmidt</i>	Simulation des dynamischen Verhaltens eines Zwangdurchlauf-Abhitzedampferzeugers	175
<i>Ch. Sauer, U. Schnell, K. R.G. Hein, Ch. Pletl, T. Weiss, K. Kwanka, D. Hein</i>	Einfluss des Detaillierungsgrades der Simulation der Abgasströmung auf die Auslegung eines Abhitzedampferzeugers	187